



calculatoratoz.com



unitsconverters.com

Controllo delle vibrazioni nella sabbiatura Formule

Calcolatrici!

Esempi!

Conversioni!

Segnalibro calculatoratoz.com, unitsconverters.com

La più ampia copertura di calcolatrici e in crescita - **30.000+ calcolatrici!**
Calcola con un'unità diversa per ogni variabile - **Nella conversione di unità costruita!**

La più ampia raccolta di misure e unità - **250+ misurazioni!**

Sentiti libero di CONDIVIDERE questo documento con i tuoi amici!

[Si prega di lasciare il tuo feedback qui...](#)



Lista di 39 Controllo delle vibrazioni nella sabbiatura Formule

Controllo delle vibrazioni nella sabbiatura

1) Accelerazione di Particelle disturbate da Vibrazioni

 $a = \left(4 \cdot (\pi \cdot f)^2 \cdot A \right)$

[Apri Calcolatrice !\[\]\(a870788d6ed9b8fd294b7654a8c8526b_img.jpg\)](#)

 $1.580716 \text{m/s}^2 = \left(4 \cdot (\pi \cdot 2.001 \text{Hz})^2 \cdot 10 \text{mm} \right)$

2) Diametro del foro utilizzando la lunghezza minima del foro

 $D_h = \left(\frac{L}{2} \right)$

[Apri Calcolatrice !\[\]\(c50c8b7b2cc2cf9ff925edec0ee94c0d_img.jpg\)](#)

 $10.1 \text{ft} = \left(\frac{20.2 \text{ft}}{2} \right)$

3) Diametro della punta da trapano utilizzando il carico suggerito nella formula di Langefors

 $d_b = (B_L \cdot 33) \cdot \sqrt{\frac{c \cdot D_f \cdot EV}{D_p \cdot s}}$

[Apri Calcolatrice !\[\]\(f60b7a900783ac3fd531bfd9c111be6d_img.jpg\)](#)

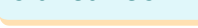
 $97.71256 \text{mm} = (0.01 \text{m} \cdot 33) \cdot \sqrt{\frac{1.3 \cdot 2.03 \cdot 0.50}{3.01 \text{kg/dm}^3 \cdot 5}}$



4) Diametro dell'esplosivo usando il carico suggerito nella formula Konya**Apri Calcolatrice**

fx $D_e = \left(\frac{B}{3.15} \right) \cdot \left(\frac{SG_r}{SG_e} \right)^{\frac{1}{3}}$

ex $56.84036\text{in} = \left(\frac{14\text{ft}}{3.15} \right) \cdot \left(\frac{2.3}{1.9} \right)^{\frac{1}{3}}$

5) Distanza dal foro di scoppio alla faccia libera perpendicolare più vicina o al carico**Apri Calcolatrice**

fx $B = \sqrt{D_h \cdot L}$

ex $14.28356\text{ft} = \sqrt{10.1\text{ft} \cdot 20.2\text{ft}}$

6) Distanza dall'esposizione data Distanza in scala per il controllo delle vibrazioni**Apri Calcolatrice**

fx $D = \sqrt{W} \cdot \left(\frac{D_{scaled}}{H} \right)^{-\frac{1}{\beta}}$

ex $5.065376\text{m} = \sqrt{62\text{kg}} \cdot \left(\frac{4.9\text{m}}{2.01} \right)^{-\frac{1}{2.02}}$



7) Distanza della particella due dal sito di esplosione data la velocità

fx

$$D_2 = D_1 \cdot \left(\frac{v_1}{v_2} \right)^{\frac{2}{3}}$$

Apri Calcolatrice **ex**

$$1.941412\text{m} = 2.1\text{m} \cdot \left(\frac{1.6\text{m/s}}{1.8\text{m/s}} \right)^{\frac{2}{3}}$$

8) Distanza della particella uno dal sito di esplosione

fx

$$D_1 = D_2 \cdot \left(\frac{v_2}{v_1} \right)^{\frac{2}{3}}$$

Apri Calcolatrice **ex**

$$2.163374\text{m} = 2\text{m} \cdot \left(\frac{1.8\text{m/s}}{1.6\text{m/s}} \right)^{\frac{2}{3}}$$

9) Distanza in scala per il controllo delle vibrazioni

fx

$$D_{\text{scaled}} = H \cdot \left(\frac{D}{\sqrt{W}} \right)^{-\beta}$$

Apri Calcolatrice **ex**

$$5.01002\text{m} = 2.01 \cdot \left(\frac{5.01\text{m}}{\sqrt{62\text{kg}}} \right)^{-2.02}$$



10) Gravità specifica della roccia utilizzando il carico suggerito nella formula Konya ↗

fx
$$SG_r = SG_e \cdot \left(\frac{3.15 \cdot D_e}{B} \right)^3$$

[Apri Calcolatrice ↗](#)

ex
$$2.083749 = 1.9 \cdot \left(\frac{3.15 \cdot 55\text{in}}{14\text{ft}} \right)^3$$

11) Gravità specifica dell'esplosivo utilizzando il carico suggerito nella formula Konya ↗

fx
$$SG_e = SG_r \cdot \left(\frac{B}{3.15 \cdot D_e} \right)^3$$

[Apri Calcolatrice ↗](#)

ex
$$2.097181 = 2.3 \cdot \left(\frac{14\text{ft}}{3.15 \cdot 55\text{in}} \right)^3$$

12) Livello di pressione sonora in decibel ↗

fx
$$dB = \left(\frac{P}{6.95 \cdot 10^{-28}} \right)^{0.084}$$

[Apri Calcolatrice ↗](#)

ex
$$245.7875dB = \left(\frac{20\text{kPa}}{6.95 \cdot 10^{-28}} \right)^{0.084}$$



13) Lunghezza d'onda delle vibrazioni causate dall'esplosione ↗

fx $\lambda_v = \left(\frac{V}{f} \right)$

[Apri Calcolatrice ↗](#)

ex $2.498751m = \left(\frac{5m/s}{2.001Hz} \right)$

14) Peso Forza dell'esplosivo usando il carico suggerito nella formula di Langefors ↗

fx $s = \left(33 \cdot \frac{B_L}{d_b} \right)^2 \cdot \left(\frac{EV \cdot c \cdot D_f}{D_p} \right)$

[Apri Calcolatrice ↗](#)

ex $5.021825 = \left(33 \cdot \frac{0.01m}{97.5mm} \right)^2 \cdot \left(\frac{0.50 \cdot 1.3 \cdot 2.03}{3.01kg/dm^3} \right)$

15) Peso massimo degli esplosivi data la distanza in scala per il controllo delle vibrazioni ↗

fx $W = \left((D)^{-\beta} \cdot \left(\frac{H}{D_{scaled}} \right) \right)^{-\frac{2}{\beta}}$

[Apri Calcolatrice ↗](#)

ex $60.65181kg = \left((5.01m)^{-2.02} \cdot \left(\frac{2.01}{4.9m} \right) \right)^{-\frac{2}{2.02}}$



16) Sovraccarico dato Stemming a Top of Borehole ↗

fx $OB = 2 \cdot (S - (0.7 \cdot B))$

[Apri Calcolatrice ↗](#)

ex $3\text{ft} = 2 \cdot (11.3\text{ft} - (0.7 \cdot 14\text{ft}))$

17) Spaziatura per più sabbiature simultanee ↗

fx $S_b = \sqrt{B \cdot L}$

[Apri Calcolatrice ↗](#)

ex $16.81666\text{ft} = \sqrt{14\text{ft} \cdot 20.2\text{ft}}$

18) Stemming in cima al pozzo per impedire la fuoriuscita di gas esplosivi ↗

fx $S = (0.7 \cdot B) + \left(\frac{OB}{2} \right)$

[Apri Calcolatrice ↗](#)

ex $11.31\text{ft} = (0.7 \cdot 14\text{ft}) + \left(\frac{3.02\text{ft}}{2} \right)$

19) Velocità della particella due a distanza dall'esplosione ↗

fx $v_2 = v_1 \cdot \left(\frac{D_1}{D_2} \right)^{1.5}$

[Apri Calcolatrice ↗](#)

ex $1.721488\text{m/s} = 1.6\text{m/s} \cdot \left(\frac{2.1\text{m}}{2\text{m}} \right)^{1.5}$



20) Velocità della particella uno a distanza dall'esplosione ↗

fx $v_1 = v_2 \cdot \left(\frac{D_2}{D_1} \right)^{1.5}$

[Apri Calcolatrice ↗](#)

ex $1.672972\text{m/s} = 1.8\text{m/s} \cdot \left(\frac{2\text{m}}{2.1\text{m}} \right)^{1.5}$

21) Velocità delle particelle disturbate dalle vibrazioni ↗

fx $v = (2 \cdot \pi \cdot f \cdot A)$

[Apri Calcolatrice ↗](#)

ex $125.7265\text{mm/s} = (2 \cdot \pi \cdot 2.001\text{Hz} \cdot 10\text{mm})$

22) Velocità delle vibrazioni causate dall'esplosione ↗

fx $V = (\lambda_v \cdot f)$

[Apri Calcolatrice ↗](#)

ex $5.0025\text{m/s} = (2.5\text{m} \cdot 2.001\text{Hz})$

Parametri di controllo delle vibrazioni nella sabbatura ↗

23) Ampiezza delle vibrazioni data l'accelerazione delle particelle ↗

fx $A = \left(\frac{a}{4 \cdot (\pi \cdot f)^2} \right)$

[Apri Calcolatrice ↗](#)

ex $19.61136\text{mm} = \left(\frac{3.1\text{m/s}^2}{4 \cdot (\pi \cdot 2.001\text{Hz})^2} \right)$



24) Ampiezza delle vibrazioni utilizzando la velocità delle particelle

fx $A = \left(\frac{v}{2 \cdot \pi \cdot f} \right)$

Apri Calcolatrice 

ex $9.942213\text{mm} = \left(\frac{125\text{mm/s}}{2 \cdot \pi \cdot 2.001\text{Hz}} \right)$

25) Diametro del foro utilizzando il carico

fx $D_h = \frac{(B)^2}{L}$

Apri Calcolatrice 

ex $9.70297\text{ft} = \frac{(14\text{ft})^2}{20.2\text{ft}}$

26) Distanza dall'esplosione all'esposizione data la sovrappressione

fx $D = \left(\left(\frac{226.62}{P} \right) \right)^{\frac{1}{1.407}} \cdot (W)^{\frac{1}{3}}$

Apri Calcolatrice 

ex $22.22113\text{m} = \left(\left(\frac{226.62}{20\text{kPa}} \right) \right)^{\frac{1}{1.407}} \cdot (62\text{kg})^{\frac{1}{3}}$

27) Fardello dato a Stemming a Top of Borehole

fx $B = \frac{S - \left(\frac{OB}{2} \right)}{0.7}$

Apri Calcolatrice 

ex $13.98571\text{ft} = \frac{11.3\text{ft} - \left(\frac{3.02\text{ft}}{2} \right)}{0.7}$



28) Fardello dato Spaziatura per esplosioni multiple simultanee ↗

fx $B = \frac{(S_b)^2}{L}$

[Apri Calcolatrice ↗](#)

ex $12.67327\text{ft} = \frac{(16\text{ft})^2}{20.2\text{ft}}$

29) Fardello suggerito nella formula di Langefors ↗

fx $B_L = \left(\frac{d_b}{33} \right) \cdot \sqrt{\frac{D_p \cdot s}{c \cdot D_f \cdot EV}}$

[Apri Calcolatrice ↗](#)

ex $0.009978\text{m} = \left(\frac{97.5\text{mm}}{33} \right) \cdot \sqrt{\frac{3.01\text{kg/dm}^3 \cdot 5}{1.3 \cdot 2.03 \cdot 0.50}}$

30) Fardello suggerito nella formula Konya ↗

fx $B = (3.15 \cdot D_e) \cdot \left(\frac{SG_e}{SG_r} \right)^{\frac{1}{3}}$

[Apri Calcolatrice ↗](#)

ex $13.54671\text{ft} = (3.15 \cdot 55\text{in}) \cdot \left(\frac{1.9}{2.3} \right)^{\frac{1}{3}}$



31) Frequenza delle vibrazioni causate dall'esplosione

fx $f = \left(\frac{V}{\lambda_v} \right)$

[Apri Calcolatrice !\[\]\(f4349ea867b307dd2675269f68d0971f_img.jpg\)](#)

ex $2\text{Hz} = \left(\frac{5\text{m/s}}{2.5\text{m}} \right)$

32) Frequenza di vibrazione data la velocità della particella

fx $f = \left(\frac{v}{2 \cdot \pi \cdot A} \right)$

[Apri Calcolatrice !\[\]\(4d25d87d94191bbe34f0046ad604e903_img.jpg\)](#)

ex $1.989437\text{Hz} = \left(\frac{125\text{mm/s}}{2 \cdot \pi \cdot 10\text{mm}} \right)$

33) Frequenza di vibrazione data l'accelerazione delle particelle

fx $f = \sqrt{\frac{a}{4 \cdot (\pi)^2 \cdot A}}$

[Apri Calcolatrice !\[\]\(7453c0f29ed3a7dcecf77fe714fbbf84_img.jpg\)](#)

ex $2.802212\text{Hz} = \sqrt{\frac{3.1\text{m/s}^2}{4 \cdot (\pi)^2 \cdot 10\text{mm}}}$



34) Lunghezza del foro data la spaziatura per esplosioni multiple simultanee ↗

fx
$$L = \frac{(S_b)^2}{B}$$

[Apri Calcolatrice ↗](#)

ex
$$18.28571\text{ft} = \frac{(16\text{ft})^2}{14\text{ft}}$$

35) Lunghezza del foro utilizzando Burden ↗

fx
$$L = \frac{(B)^2}{D_h}$$

[Apri Calcolatrice ↗](#)

ex
$$19.40594\text{ft} = \frac{(14\text{ft})^2}{10.1\text{ft}}$$

36) Lunghezza minima del foro in metri ↗

fx
$$L = (2 \cdot 25.4 \cdot D_{\text{pith}})$$

[Apri Calcolatrice ↗](#)

ex
$$16.66667\text{ft} = (2 \cdot 25.4 \cdot 0.1\text{m})$$

37) Lunghezza minima del foro in piedi ↗

fx
$$L = (2 \cdot D_h)$$

[Apri Calcolatrice ↗](#)

ex
$$20.2\text{ft} = (2 \cdot 10.1\text{ft})$$



38) Sovrapressione dato il livello di pressione sonora in decibel

fx $P = (\text{dB})^{\frac{1}{0.084}} \cdot (6.95 \cdot 10^{-28})$

[Apri Calcolatrice !\[\]\(b3131996c2d47980618867ba93d92313_img.jpg\)](#)

ex $3\text{E}^{-14}\text{kPa} = (25\text{dB})^{\frac{1}{0.084}} \cdot (6.95 \cdot 10^{-28})$

39) Sovrapressione dovuta alla carica esplosa sulla superficie del suolo

fx $P = 226.62 \cdot \left(\frac{(\text{W})^{\frac{1}{3}}}{\text{D}} \right)^{1.407}$

[Apri Calcolatrice !\[\]\(99af31d6d7b9b738106c66bf7ffde536_img.jpg\)](#)

ex $0.162652\text{kPa} = 226.62 \cdot \left(\frac{(62\text{kg})^{\frac{1}{3}}}{5.01\text{m}} \right)^{1.407}$



Variabili utilizzate

- **a** Accelerazione delle particelle (*Metro/ Piazza Seconda*)
- **A** Ampiezza della vibrazione (*Millimetro*)
- **B** Fardello (*Piede*)
- **B_L** Onere nella formula di Langefors (*metro*)
- **C** Costante della roccia
- **D** Distanza dall'esplosione all'esposizione (*metro*)
- **D₁** Distanza della particella 1 dall'esplosione (*metro*)
- **D₂** Distanza della particella 2 dall'esplosione (*metro*)
- **d_b** Diametro della punta del trapano (*Millimetro*)
- **D_e** Diametro dell'esplosivo (*pollice*)
- **D_f** Grado di frazione
- **D_h** Diametro del pozzo (*Piede*)
- **D_p** Grado di imballaggio (*Chilogrammo per decimetro cubo*)
- **D_{pith}** Diametro del cerchio del midollo del foro (*metro*)
- **D_{scaled}** Distanza in scala (*metro*)
- **dB** Livello di pressione sonora (*Decibel*)
- **EV** Rapporto tra spaziatura e carico
- **f** Frequenza di vibrazione (*Hertz*)
- **H** Costante della distanza in scala
- **L** Lunghezza del pozzo (*Piede*)
- **OB** Sovraccaricare (*Piede*)
- **P** Sovrappressione (*Kilopascal*)



- **S** Forza peso dell'esplosivo
- **S** Derivazione in cima al pozzo (*Piede*)
- **S_b** Spazio esplosivo (*Piede*)
- **SG_e** Gravità specifica dell'esplosivo
- **SG_r** Gravità specifica della roccia
- **v** Velocità della particella (*Millimeter / Second*)
- **V** Velocità di vibrazione (*Metro al secondo*)
- **v₁** Velocità della particella con massa m₁ (*Metro al secondo*)
- **v₂** Velocità della particella con massa m₂ (*Metro al secondo*)
- **W** Peso massimo di esplosivi per ritardo (*Chilogrammo*)
- **β** Costante della distanza in scala β
- **λ_v** Lunghezza d'onda della vibrazione (*metro*)



Costanti, Funzioni, Misure utilizzate

- **Costante:** **pi**, 3.14159265358979323846264338327950288
Archimedes' constant
- **Funzione:** **sqrt**, sqrt(Number)
Square root function
- **Misurazione:** **Lunghezza** in Millimetro (mm), Piede (ft), metro (m), pollice (in)
Lunghezza Conversione unità 
- **Misurazione:** **Peso** in Chilogrammo (kg)
Peso Conversione unità 
- **Misurazione:** **Pressione** in Kilopascal (kPa)
Pressione Conversione unità 
- **Misurazione:** **Velocità** in Metro al secondo (m/s), Millimeter / Second (mm/s)
Velocità Conversione unità 
- **Misurazione:** **Accelerazione** in Metro/ Piazza Seconda (m/s²)
Accelerazione Conversione unità 
- **Misurazione:** **Frequenza** in Hertz (Hz)
Frequenza Conversione unità 
- **Misurazione:** **Densità** in Chilogrammo per decimetro cubo (kg/dm³)
Densità Conversione unità 
- **Misurazione:** **Suono** in Decibel (dB)
Suono Conversione unità 



Controlla altri elenchi di formule

- Capacità portante per fondazione a strisce per terreni C-Φ [Formule ↗](#)
- Capacità portante del terreno coesivo [Formule ↗](#)
- Capacità portante del terreno non coesivo [Formule ↗](#)
- Capacità portante dei terreni: analisi di Meyerhof [Formule ↗](#)
- Analisi di stabilità della fondazione [Formule ↗](#)
- Limiti di Atterberg [Formule ↗](#)
- Capacità portante del suolo: l'analisi di Terzaghi [Formule ↗](#)
- Compattazione del suolo [Formule ↗](#)
- Movimento terra [Formule ↗](#)
- Pressione laterale per terreni coesivi e non coesivi [Formule ↗](#)
- Profondità minima di fondazione secondo l'analisi di Rankine [Formule ↗](#)
- Fondazioni su pali [Formule ↗](#)
- Controllo delle vibrazioni nella sabbatura [Formule ↗](#)
- Rapporto dei vuoti del campione di terreno [Formule ↗](#)
- Contenuto d'acqua del suolo e formule correlate [Formule ↗](#)

Sentiti libero di CONDIVIDERE questo documento con i tuoi amici!

PDF Disponibile in

[English](#) [Spanish](#) [French](#) [German](#) [Russian](#) [Italian](#) [Portuguese](#) [Polish](#) [Dutch](#)

12/23/2023 | 1:35:37 AM UTC

[Si prega di lasciare il tuo feedback qui...](#)

